

猕猴桃果实发育过程中 AsA 代谢产物积累及相关酶活性的变化

侯长明, 李明军, 马锋旺*, 梁东, 杜国荣

(西北农林科技大学园艺学院, 陕西杨凌 712100)

摘要: 以美味猕猴桃品种‘秦美’果实为材料, 研究了其生长发育过程中与 AsA 代谢循环系统相关的物质抗坏血酸 (AsA)、谷胱甘肽 (GSH)、草酸 (OA)、酒石酸 (TA) 和过氧化氢 (H_2O_2) 的含量及相关酶活性的变化及其相互关系。结果表明: 在果实生长发育过程中, 花后 AsA 含量明显增加, 花后 30 d 达到最高后开始下降, 花后 75 d 后基本保持不变。就整个果实中总的 AsA 积累量而言, 花后开始显著增加, 到 45 d 达到最大值后至成熟基本保持不变。这表明猕猴桃果实的 AsA 积累主要发生在幼果期。GSH 随着果实发育在花后 120 d 前其含量及积累量均有增加, 但积累也主要发生在幼果期。OA 含量的变化与 H_2O_2 含量和抗坏血酸过氧化物酶 (APX) 活性相似, 均在花后开始显著下降, 到花后 30 d 后变化不大; 而 TA 含量的变化趋势与 AsA 一致。抗坏血酸氧化酶 (AO)、单脱氢抗坏血酸还原酶 (MDHAR) 和脱氢抗坏血酸还原酶 (DHAR) 的活性变化基本一致, 均在花后开始显著升高, 60 d 达到最大后迅速下降, 在 90 d 后至成熟基本保持不变。

关键词: 猕猴桃; 果实; 抗坏血酸; 代谢物; 酶活性

中图分类号: S 663.4; Q 945 **文献标识码:** A **文章编号:** 0513-353X (2009) 09-1269-08

Changes of Product Accumulation and Related Enzyme Activities in AsA Metabolism During Kiwifruit Growth and Development

HOU Chang-ming, LIMING-jun, MA Feng-wang*, LIANG Dong, and DU Guo-rong

(College of Horticulture, Northwest A & F University, Yangling, Shaanxi 712100, China)

Abstract: In present study, the components including the contents of ascorbic acid (AsA), glutathione (GSH), oxalic acid (OA), tartaric acid (TA) and hydrogen peroxide (H_2O_2) and some enzymes activities related with AsA metabolism, were investigated during the growth and development of kiwifruit (*Actinidia deliciosa* ‘Qinmei’). The results showed that AsA content per gram of fresh fruit increased significantly and reached the maximum at the 30th day after anthesis (DAA), then decreased and maintained essentially constant after the 75th DAA. The ascorbic acid content per fruit increased significantly and reached the maximum at the 45th DAA, and then maintained essentially no change to ripe period. It shows that the AsA is mainly accumulated during the fruit cell division stage. Glutathione was accumulated continuously before the 120th DAA, and the accumulation speed was the fastest in young fruit period. As possible products of AsA degradation, OA showed a similar changes with H_2O_2 content and ascorbate peroxidase (APX) activity during kiwifruit development, which was decreased fast in the fruit early fast development period before the 30th DAA and was no clear change to maturation, but changes of TA content were similar pattern with AsA content. The activity of ascorbate oxygenase (OA) which can lead to oxidation of AsA is similar with activities of monodehydroascorbate reductase (MDHAR) and dehydroascorbate reductase (DHAR) used to recycling oxidized ascorbate to AsA during the development, which showed a clear increase before the 60th DAA, then decreased fast

收稿日期: 2009-03-16; 修回日期: 2009-07-08

基金项目: 国家自然科学基金项目 (30871700); 陕西省自然科学基金项目 (2006C101)

* 通讯作者 Author for correspondence (Email: fwm64@sina.com)

and maintained a low level during the fruit maturation period

Key words: kiwifruit; fruit; ascorbate; metabolites; enzyme activity

抗坏血酸 (ascorbic acid, A sA) 不仅是维持人体健康的必需物质，而且对植物本身也具有重要的生理功能。它不仅作为植物抗氧化体系中最重要的抗氧化剂参与抵御氧化胁迫，还在调节细胞的分裂和伸长、调节某些基因转录和翻译、维持细胞氧化还原平衡等方面有特殊的功能 (Davey et al , 2000)。植物缺乏 A sA 会引起对逆境抗性减弱 (Smimoff, 1993; Jin et al , 2003)，生长受抑 (Smimoff & Pallanca, 1996; Veljovic-Jovanovic et al , 2001)。

植物体内 A sA 含量受合成和再生能力的调控。A sA-GSH 循环是 A sA 再生的主要途径。在该途径中，抗坏血酸过氧化物酶 (APX) 以 A sA 为电子供体清除 H₂O₂ 的同时，将 A sA 氧化成单脱氢抗坏血酸 (MDHA)，MDHA 一部分可在单脱氢抗坏血酸还原酶 (MDHAR) 的催化下还原为 A sA，一部分可通过非酶歧化反应生成 A sA 和脱氢抗坏血酸 (DHA)，而 DHA 在脱氢抗坏血酸还原酶 (DHAR) 和谷胱甘肽 (GSH) 参与下可被还原为 A sA。若 DHA 不能及时的被还原，进一步会被氧化降解为草酸 (OA) 和酒石酸 (TA) 而被丢失 (Kosman et al , 2001)。

过去对植物 A sA 代谢及其水平调控的研究多集中在少数模式植物中 (Wheeler et al , 1998)，对果树的研究主要集中在果实 A sA 含量的测定与比较方面 (Davey et al , 2000)，在作物可食部分 (特别是果实) 中代谢和积累机制的理解仍然有限。

猕猴桃起源于中国，具有‘维生素 C 之王’的美称，但至今对猕猴桃果实 A sA 的形成和积累规律和机制尚无报道。

本研究中以美味猕猴桃品种‘秦美’果实为试材，研究其生长发育过程中 A sA、GSH、OA 和 TA 含量及代谢相关酶活性的变化，探索在果实生长发育过程中它们与 A sA 积累的关系，为进一步研究猕猴桃果实高 A sA 机理奠定基础。

1 材料与方法

试验所用果实采自于西北农林科技大学园艺场 (陕西省杨凌) 的 5 年生美味猕猴桃品种‘秦美’ (*Actinidia deliciosa* ‘Qinmei’)。

在花期，选取 5 棵长势基本一致的植株，进行疏花并人工授粉，使每棵树的坐果量基本一致 (花后 15 d 疏果)。于 2007 年 5 月 6 日 (此时全园 70% 花瓣脱落) 采中庸结果枝上花瓣刚脱落的幼果，记该天为果实发育的 0 d，即花后 0 d，此后以每 15 d 为一个采样时间段，但为避免由于天气特别是阴雨环境对果实 A sA 代谢的影响，采样时间根据天气情况进行提前和推迟在晴天的 16: 00—17: 00，直到果实成熟 (花后 150 d)。每次样品采集后，将采于同一棵树上的果实 (至少 5 个) 进行称重，求出平均单果质量后，用刀切碎混合，再用液氮速冻后作为一个重复存于 -70 ℃ 冰箱 (共 5 个重复)。全部样品采集完成后进行相关指标的测定。

总抗坏血酸 (T-A sA)、A sA、总谷胱甘肽 (T-GSH)、氧化态谷胱甘肽 (GSSG)、和 H₂O₂ 含量及 APX、MDHAR、DHAR 和谷胱甘肽还原酶 (GR) 酶活性的测定参照马春花等 (2006, 2007) 的报道。DHA 的含量为 T-A sA 与 A sA 的差值，GSH 的含量为 T-GSH 与 GSSG 的差值。以 A sA/DHA 比值和 GSH/GSSG 比值表示 A sA 和 GSH 的氧化还原状态。

抗坏血酸氧化酶 (AO) 活性的测定参考 Pignocchi 等 (2003)。2.0 g 果实在含 1 mmol · L⁻¹ EDTA、1% Triton X-100 和 2% PVP-40 的冰浴磷酸缓冲液 (50 mmol · L⁻¹, pH 6.5) 中研磨成匀浆，研磨在冰上进行。匀浆定容至 8 mL, 16 000 ×g, 2 ℃ 离心 15 min；为了避免提取液中高的 A sA 含量对测定的影响，上清液中加入 35% 硫酸氨，10 000 ×g, 2 ℃ 离心 30 min 沉淀蛋白；沉淀溶解于 5 mL

磷酸缓冲液 ($50 \text{ mmol} \cdot \text{L}^{-1}$, pH 6.5) 即为酶液, 如下测定 AO 的活性。3 mL 的反应体系含 $100 \text{ mmol} \cdot \text{L}^{-1}$ 磷酸缓冲液 (pH 5.6), $0.3 \text{ mmol} \cdot \text{L}^{-1}$ AsA 及 0.10 mL 酶提取液, 以缓冲液代替酶液为对照, 27 下测定 265 nm 处吸光值的变化。以每分钟氧化 $1 \mu\text{mol}$ AsA 为 1 个 AO 酶活力单位 (U)。

OA 和 TA 采用高效液相色谱仪测定 (高海燕等, 2004)。色谱条件为: 色谱柱, PRONTOSIL 120-10-C₁₈ ($10 \mu\text{m}$, $4.6 \text{ mm i.d.} \times 250 \text{ mm}$); 流速 $0.5 \text{ mL} \cdot \text{min}^{-1}$; 进样体积 $20 \mu\text{L}$; 检测波长 210 nm ; 柱温 30°C ; 流动相, $0.01 \text{ mol} \cdot \text{L}^{-1}$ K_2HPO_4 磷酸盐缓冲液 (用磷酸调配, pH 2.55) 和体积分数 3% 甲醇。

DHA、GR、NADH、NADPH、OA (色谱纯) 和 TA (色谱纯) 均购自 Sigma 公司, 酶活性测定采用 SH MADZU 公司 UV-2550 型分光光度计, 高效液相色谱仪为 SH MADZU 公司 LC-2010A 型, 数据统计分析采用 DPS 和 Excel 数据处理系统。

2 结果与分析

2.1 猕猴桃果实发育过程中单果质量的变化

猕猴桃在花后子房开始膨大, 从花后 0 d 到花后 45 d 果实单果质量迅速增加, 生长期达到成熟期果实 (花后 150 d) 单果质量的 68.8%。

花后 45 d 到 105 d 果实单果质量继续增加, 但增加速度明显变慢。

花后 105 d 到 150 d 单果质量基本保持不变 (图 1)。

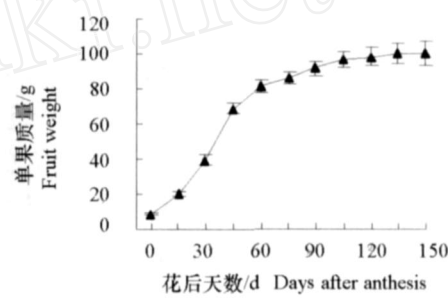


图 1 猕猴桃果实生长发育过程中果实质量的变化

Fig. 1 Changes in single fruit weight during kiwifruit development

2.2 猕猴桃果实发育过程中 AsA 水平及其积累量的变化

AsA 含量在果实快速生长期快速提高, 在花后 30 d 达到最大, 是花后 0 d 的 4.73 倍; 至花后 60 d 下降为花后 0 d 的 3.43 倍, 花后 60~150 d 下降十分缓慢, 仅下降了 15.5% (图 2)。

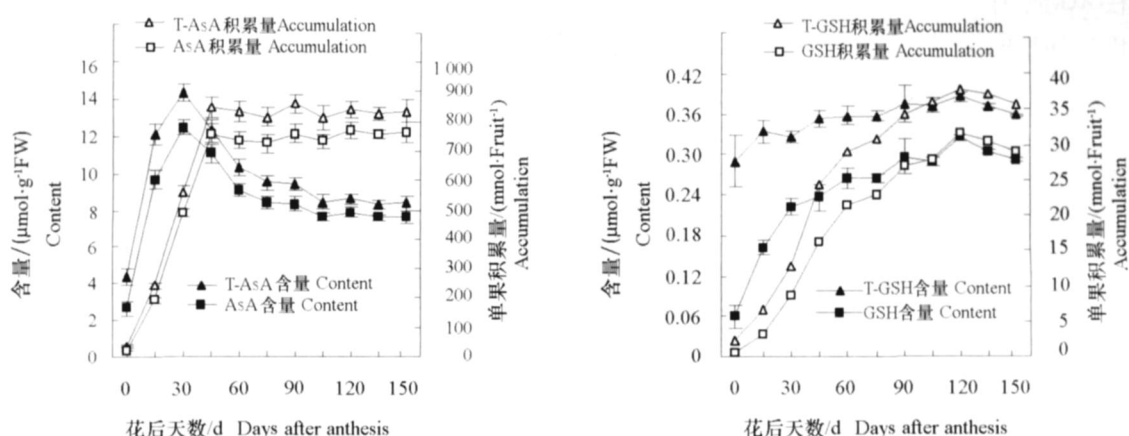


图 2 猕猴桃果实生长发育过程中 T-AsA、AsA、T-GSH 和 GSH 的含量及其单果积累量的变化

单果积累量 = 含量 × 平均单果质量。

Fig. 2 Changes of T-AsA, AsA, T-GSH and GSH contents during kiwifruit growth and development
Accumulation = Content × Single fruit weight

就整个果实的积累看，AsA的积累主要在花后45 d之前，花后45 d达到花后0 d的34.23倍。此后AsA的形成和降解达到平衡，积累量基本不变。

在果实快速生长期进行快速积累的同时也伴随着抗坏血酸还原程度的不断提高，花后45 d时AsA/DHA比值达到花后0 d的5.68倍并维持至花后90 d，然后升高至花后120 d有所升高，为花后0 d的7.31倍并维持不变至花后150 d(图3)。

在猕猴桃果实中抗坏血酸主要以还原态的AsA形式存在，AsA与TAsA的变化趋势基本一致。

2.3 猕猴桃果实发育过程中GSH水平及其积累量的变化

由图2可见，总谷胱甘肽T-GSH在整个果实生长发育期含量变化不大，花后0~120 d增加了32.8%，花后120 d后有所下降，至花后150 d为花后0 d的1.23倍。还原态的GSH在果实快速生长期迅速增加，至花后30 d达到花后0 d的3.73倍，之后增加很慢，至花后120 d达到花后0 d的5.42倍，然后在果实停滞生长期中略有下降，至花后150 d为花后0 d的4.87倍。

就整个果实看，T-GSH和GSH在果实快速生长期迅速积累，花后45 d分别达到花后0 d的9.95倍和32.32倍。缓慢生长期积累缓慢，到花后120 d分别达到花后0 d的15.47倍和63.19倍。停滞生长期都有所下降，花后150 d下降至花后0 d的14.63倍和57.86倍。

整个快速生长期和缓慢生长期GSH/GSSG都呈现不断升高的趋势，花后120 d达到最大，为花后0 d的20.69倍(图3)。

停滞生长期谷胱甘肽还原程度略有降低，花后150 d降为花后0 d的17.18倍。

2.4 猕猴桃果实发育过程中AO、APX、MDHAR、DHAR和GR活性的变化

在AO或APX的作用下AsA被氧化为MDHA并最终形成DHA，同时MDHA和DHA又可分别在MDAR及DHAR作用下还原为AsA而得以再生。从图4可以看出，猕猴桃在果实快速生长期AO的活性不断升高。在花后60 d达到最大值，为花后0 d的2.19倍，然后至花后105 d下降为花后0 d的60.1%，花后105 d以后活性很低且基本维持不变。猕猴桃幼果APX的活性很高，快速生长期逐渐下降，花后45 d后达到花后0 d的47.1%。

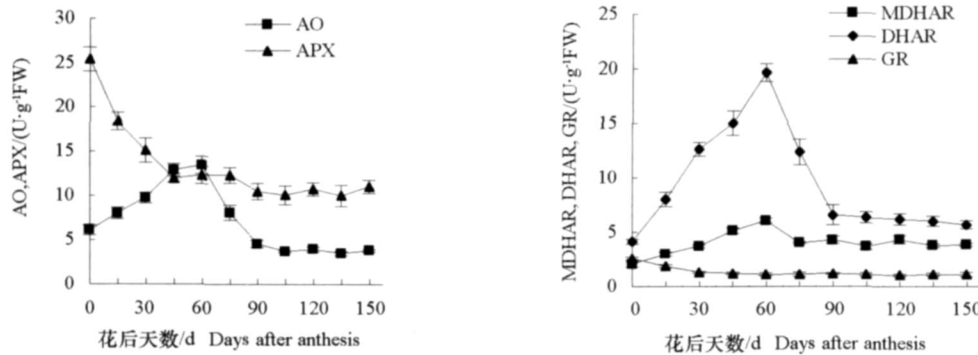


图3 猕猴桃果实生长发育过程中AsA/DHA和GSH/GSSG的变化

Fig. 3 Changes of AsA/DHA and GSH/GSSG during kiwifruit growth and development

图4 猕猴桃果实生长发育过程中AO、APX、MDHAR、DHAR和GR活性的变化

Fig. 4 The activity changes of AO, APX, MDHAR, DHAR and GR during kiwifruit growth and development

猕猴桃果实发育过程中 DHAR, MDHAR 的活性变化基本一致 (图 4), 均在花后 60 d 达到最大值, 分别为花后 0 d 的 4.73 倍和 2.97 倍, 至花后 90 d 下降至花后 0 d 的 1.59 倍和 2.11 倍, 花后 90 d 以后变化不大。GR 的活性在果实初始快速生长期迅速下降。至花后 45 d 下降至花后 0 d 的 47.27%, 花后 45 d 以后变化不明显 (图 4)。

2.5 猕猴桃果实发育过程中 H₂O₂、OA 和 TA 水平及其积累量的变化

猕猴桃幼果的 OA 含量很高, 在果实快速生长期不断下降, 至花后 30 d 时为花后 0 d 的 31.05%, 花后 30 d 后基本没有变化 (图 5)。TA 的变化趋势与 AsA 的变化基本一致, 在果实快速生长期不断升高至 45 d 达到最大, 是花后 0 d 的 1.59 倍, 然后下降至花后 75 d 为花后 0 d 的 1.04 倍, 花后 75 d 以后仍有下降但变化不大 (图 5)。H₂O₂ 在果实的整个生长发育期呈下降的趋势。花后 0 d 到花后 45 d 的下降速率很快, 下降了 77.5%。花后 45 d 以后仍不断下降 (图 5)。从整个果实的含量看, OA、TA 和 H₂O₂ 在果实快速生长期都迅速积累, 在果实缓慢生长期 OA 和 TA 基本维持不变, H₂O₂ 却明显下降 (图 5)。

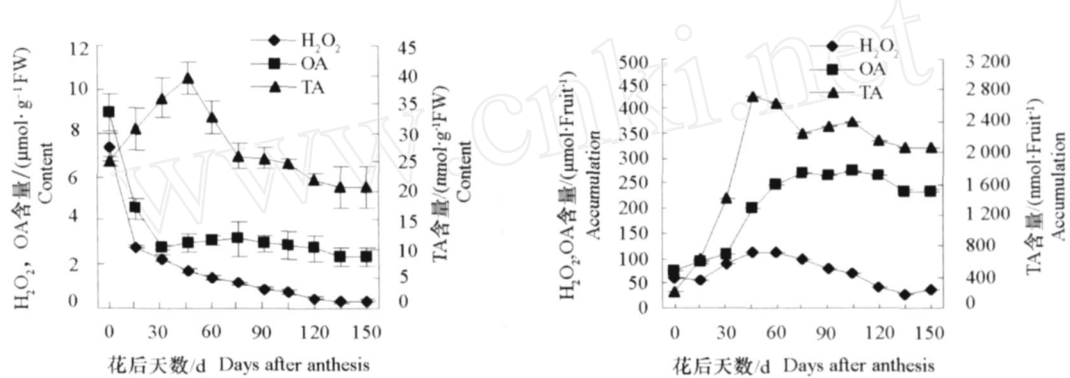


图 5 猕猴桃果实生长发育过程中 OA、TA 和 H₂O₂ 含量及其在单果中积累量的变化

Fig. 5 Content changes of OA, TA and H₂O₂ during kiwifruit growth and development

2.6 猕猴桃果实发育过程中 AsA 代谢相关指标间的相关性

H₂O₂ 是对植物有毒害作用的一种活性氧, AsA-GSH 循环能在 APX 作用下将其有效清除, 减轻其对植物体的伤害。该过程以 AsA 为电子供体, 将改变 AsA 的氧化还原状态。分析 (表 1) 显示 AsA/DHA

表 1 猕猴桃果实生长发育过程中 AsA-GSH 循环相关指标的相关系数

Table 1 Relation coefficient among product contents and related enzyme activities of AsA-GSH cycle during kiwifruit growth and development

	AsA	AsA / DHA	T-GSH	GSH	GSH / GSSG	H ₂ O ₂	OA	TA	AO	APX	MDHAR	DHAR	GR
T-AsA	0.979 **	0.110	0.087	0.181	- 0.103	- 0.342	- 0.531	0.753 **	0.584 *	- 0.261	0.418	0.607 *	- 0.377
AsA	0.305	0.260	0.367	0.084	- 0.509	- 0.684 *	0.674 *	0.517	- 0.445	0.530	0.608 *	- 0.554	
AsA / DHA	0.876 **	0.942 **	0.923 **	- 0.912 **	- 0.867 **	- 0.319	- 0.313	- 0.927 **	0.522	0.003	- 0.909 *		
T-GSH	0.951 **	0.881 **	- 0.919 **	- 0.819 **	- 0.320	- 0.310	- 0.935 **	0.584 *	0.009	- 0.874 **			
GSH		0.929 **	- 0.966 **	- 0.915 **	- 0.286	- 0.268	- 0.978 **	0.623 *	0.089	- 0.960 **			
GSH / GSSG			- 0.838 **	- 0.746 **	- 0.554	- 0.508	- 0.851 **	0.422	- 0.179	- 0.179	- 0.812 **		
H ₂ O ₂					0.969 **	0.177	0.179	0.972 **	- 0.618 *	- 0.156	0.961 **		
OA						- 0.022	0.022	0.939 **	- 0.659 *	- 0.292	0.965 **		
TA							0.895 **	0.157	0.374	0.755 **	0.047		
AO								0.165	0.529	0.918 **	0.028		
APX									- 0.674 *	- 0.176	0.974 **		
MDHAR										0.762 **	- 0.738 **		
DHAR											- 0.322		

注: * 表示显著水平 0.05; ** 表示显著水平 0.01。
Note: * denote significance at 0.05; ** denote significance at 0.01.

和 GSH/GSSG与 H₂O₂存在极显著负相关，而 GR、APX和 OA与 H₂O₂存在极显著正相关；AsA 和 GSH的氧化还原状态显示出显著的一致性，AsA/DHA 和 GSH/GSSG的相关系数为 0.923。GR与 GSH/GSSG呈现极显著的负相关；随 GSH升高而 GR降低，两者极显著负相关，表现出 GSH对 GR的可能的反馈抑制；T-AsA与 TA存在显著的正相关，但与 OA并无显著相关。

3 讨论

本研究发现，猕猴桃果实在花后 45 d之前果实质量迅速增加，果肉细胞处于快速分裂膨大期 (Hopping, 1976)。这个期间 AsA含量也迅速增加，并在花后 30 d达到最高含量。这可能与 AsA参与植物细胞的分裂有关 (Srimoff & Pallanca, 1996, Veljovic-Jovanovic et al, 2001)。花后 45 d后 AsA水平开始明显下降，在花后 60 d下降幅度明显减小，这可能与这个时期果实细胞的膨大对 AsA的稀释有关。单个果实中的 AsA的积累量在花后 45 d前迅速增加，之后至果实成熟基本保持不变，这与黑穗醋栗果实的 AsA积累特点相一致 (Hancock et al, 2007)。在植物细胞中 AsA的积累水平主要取决于合成与降解丢失之间的平衡关系 (Ishikawa et al, 2006)。猕猴桃果实发育过程中 AsA水平的变化特点说明，在花后 45 d之前每个果实组织中的 AsA合成能力大于降解丢失，之后二者基本保持平衡态。这也暗示着猕猴桃果实中的 AsA的合成速率调控主要发生在花后 45 d之前，或者花后 45 d后 AsA降解速率增加，这为研究猕猴桃果实 AsA积累的调控奠定了基础。而在刺梨果实生长发育过程中，AsA的积累速率总体上呈“慢—快—慢”的变化模式 (安华明等, 2005, 2007)，这可能与树种有关。

目前研究表明，参与细胞分裂和膨大的 AO (Srimoff & Pallanca, 1996) 活性在猕猴桃幼果期逐渐上升，在果实生长明显减慢的花后 62 d达到最大，之后下降，其活性与 AsA含量及 AsA/DHA比值不存在明显相关性，这表明 AO对猕猴桃 AsA积累量的影响不大，而对果实的膨大可能有一定的作用。APX利用 AsA作为电子供体清除活性氧 H₂O₂ (Srimoff & Pallanca, 1996)，二者在花后均迅速下降，表现出明显的相关性，并且二者均与表示 AsA氧化程度的 AsA/DHA比值表现出显著的负相关。这可能是果实发育初期细胞活动旺盛使得 H₂O₂积累，高的 APX活性有助于防止过量活性氧的积累对细胞的毒害作用。AsA经 AO、APX等氧化的产物是 MDHA，MDHA一部分能经 MDHAR还原为 AsA，另一部分能自身发生歧化反应生成 AsA和 DHA，生成的 DHA需要经 GSH依赖性 DHAR还原成 AsA (Davey et al, 2000)。MDHAR和 DHAR活性在猕猴桃果实生长发育过程中的变化趋势基本与 AO一致，在果实快速发育期迅速升高到最大，果实成熟期很低。如 Davey和 Keulemans (2004) 报道，作为 DHAR电子供体的 GSH的含量与 DHAR活性和 AsA含量未表现出相关性，这可能是因为 GSH在植物体内更重要的角色是作为另一种可溶性抗氧化剂和蛋白巯基的供体 (May et al, 1998)。但表示它氧化还原状态的 GSH/GSSG比值与 AsA/DHA比值表现出一致性，在高活性氧和高代谢活性的幼果细胞中 (尤其子房) 有着高的氧化态 GSSG水平，催化 GSSG还原为 GSH的 GR活性也表现出与 GSSG水平相似的变化趋势。这些结果表明参与 AsA代谢的这些酶及 GSH水平对猕猴桃果实发育过程中 AsA积累量并不是起决定作用，对于 AsA积累量可能主要取决于合成能力，合成速率调控的探索应该是以后对 AsA积累机制研究的主要关注点。

研究表明 AsA经 DHA降解能生成 OA和 TA (Debolt et al, 2007)。在猕猴桃果实发育过程中 AO与 H₂O₂含量的变化趋势相一致，均为花后显著下降，到 30 d后基本保持不变，二者之间的这种相关性可能与 AO分解也伴随着 H₂O₂的产生有关 (Green & Fry, 2005)。李宝盛和彭新湘 (2006) 研究表明虽不能排除抗坏血酸可能是植物草酸合成的前体，但其内源含量高低不一定影响植物中草酸积累，在猕猴桃生长发育过程中 T-AsA和 OA含量间也不存在正相关，这可能是由于猕猴桃果实中 AO的积累并非只来自 AsA降解，而且 OA不稳定，能被草酸氧化酶分解或与 Ca²⁺结合形成草酸钙沉淀 (Ko-

stman et al., 2001)。尽管这样, TA 和 A_sA 含量间表现出了显著相关性和相似的变化趋势, 这与 A_sA 经 C4/C5 的断裂生成 TA 的 TA 积累型葡萄中二者表现出的关系一致 (Debolt et al., 2006)。但猕猴桃果实中的 A_sA 降解过程中的碳链断裂方式及其途径目前尚无研究报道, 需进一步研究。多个研究表明, 通过提高氧化态 A_sA 的再生能力能降低 A_sA 的氧化降解速率, 显著地提高植物中 A_sA 的含量 (Chen et al., 2003; Eltayeb et al., 2007)。减少 A_sA 的氧化降解是提高植物 A_sA 的途径之一, 研究猕猴桃 A_sA 的降解特性和途径对于理解猕猴桃果实 A_sA 积累机制有着理论与应用价值。

总之, 在猕猴桃果实在生长发育过程中, A_sA 积累主要发生在幼果期 (花后 0~45 d), 之后基本保持不变。就整个果实中总的 A_sA 积累量而言, A_sA 在花后开始显著积累, 到 45 d 达到最大值后至成熟基本保持不变。参与 A_sA 代谢的酶 (AO、APX、MDHAR、DHAR 和 GR) 活性及 GSH 水平并不对猕猴桃果实发育过程中 A_sA 积累量起决定作用, A_sA 可能主要取决于果实自身的合成调控。此外, OA 作为 A_sA 经 DHA 降解的可能产物, 其含量与 A_sA 含量间不存在相关性, 但 TA 却存在明显的相关性。这些结果提示幼果期 A_sA 合成途径及其调控机制是我们以后在猕猴桃高 A_sA 积累机制研究中的关键点。

References

- An Huaming, Chen Lirong, Fan Weiguo, Liu Qinglin. 2005. Relationship between ascorbic acid accumulation and related enzyme activities in fruit of *Rosa roxburghii* Tratt. Journal of Plant Physiology and Molecular Biology, 31 (4): 431~436 (in Chinese)
- 安华明, 陈力耕, 樊卫国, 刘庆林. 2005. 刺梨果实中维生素 C 积累与相关酶活性的关系. 植物生理与分子生物学报, 31 (4): 431~436.
- An Huaming, Fan Weiguo, Liu Qinglin, Chen Ligeng. 2007. Co-changes of antioxidant enzymes and ascorbic acids during the fruit and leaf development of *Rosa roxburghii*. Acta Horticulturae Sinica, 34 (5): 1293~1296. (in Chinese)
- 安华明, 樊卫国, 刘庆林, 陈力耕. 2007. 刺梨果实和叶片发育过程中抗坏血酸和抗氧化酶的协同变化. 园艺学报, 34 (5): 1293~1296.
- Chen Zhong, Young T E, Ling Jun, Chang S C, Gallie D R. 2003. Increasing vitamin C content of plants through enhanced ascorbate recycling. Proc Natl Acad Sci USA, 100 (6): 3525~3530.
- Davey M W, van Montagu M, Inze D, Sanmartin M, Kanellis A, Smimoff N, Benzie I J J, Strain J J, Flavell D, Fletcher J. 2000. Plant L-ascorbic acid: chemistry, function, metabolism, bioavailability and effects of processing. J Sci Food Agric, 80: 825~860.
- Davey M W, Keulemans J. 2004. Determining the potential to breed for enhanced antioxidant status in Malus: mean inter- and intravarietal fruit vitamin C and glutathione contents at harvest and their evolution during storage. J Agric Food Chem, 52: 8031~8038.
- Debolt S, Cook D R, Ford C M. 2006. L-Tartaric acid synthesis from vitamin C in higher plants. Proc Natl Acad Sci USA, 103: 5608~5613.
- Debolt S, Melino V, Ford C M. 2007. Ascorbate as a biosynthetic precursor in plants. Annals of Botany, 99: 3~8.
- Eltayeb A E, Kawano N, Badawi G H, Kamimura H, Sanekata T, Morishima I, Shibahara T, Inanaga S, Tanaka K. 2007. Overexpression of monodehydroascorbate reductase in transgenic tobacco confers enhanced tolerance to ozone, salt and polyethylene glycol stresses. Planta, 225: 1255~1264.
- Gao Haiyan, Wang Shan-guang, Hu Xiao-song. 2004. Study on determination of kinds and contents of organic acids in pear juice by high performance liquid chromatography. Food and Fermentation Industries, 30 (8): 96~100. (in Chinese)
- 高海燕, 王善广, 胡小松. 2004. 利用反相高效液相色谱法测定梨汁中有机酸的种类和含量. 食品与发酵工业, 30 (8): 96~100.
- Green M A, Fry S C. 2005. Vitamin C degradation in plant cells via enzymatic hydrolysis of 4-O-oxalyl-L-threonate. Nature, 433: 83~87.
- Hancock R D, Walker P G, Pont SD A, Marquis N, Vivera S, Gordon S L, Brannan R M, Viola R. 2007. L-Ascorbic acid accumulation in fruit of *Ribes nigrum* occurs by in situ biosynthesis via the L-galactose pathway. Functional Plant Biology, 34: 1~12.
- Hopping M E. 1976. Structure and development of fruit and seeds in Chinese gooseberry (*Actinidia chinensis* Planch.). New Zealand J Bot, 14: 63~68.
- Ishikawa T, Dowdle J, Smimoff N. 2006. Progress in manipulating ascorbic acid biosynthesis and accumulation in plants. Physiol Plant, 126: 343~355.
- Jin Yue-hua, Tao Da-li, Hao Zan-qing, Ye Jie, Du Ying-jun, Liu Hai-ling, Zhou Yong-bin. 2003. Environmental stresses and redox status of a-

- scorbate *Acta Botanica Sinica*, 45 (7): 795 - 801.
- Kostman T A, Tarlyn N M, Loewus F A, Francecchi V R. 2001. Biosynthesis of L-ascorbic acid and conversion of carbon 1 and 2 of L-ascorbic acid to oxalic acid occurs within individual calcium oxalate crystal idioblasts *Plant Physiol*, 125: 634 - 640.
- Li Bao-sheng, Peng Xin-xiang. 2006. Relationship between oxalate accumulation and ascorbate content in plant *Plant Physiology Communications*, 42 (1): 31 - 33. (in Chinese)
- 李宝盛, 彭新湘. 2006. 植物叶片中抗坏血酸含量与草酸积累的关系. *植物生理学通讯*, 42 (1): 31 - 33.
- Ma Chun-hua, Ma Feng-wang, Li Ming-jun, Han Ming-yu, Shu Huai-nui. 2006. Effects of exogenous ascorbic acid on senescence of detached apple leaves *Acta Horticulturae Sinica*, 33 (6): 1179 - 1184. (in Chinese)
- 马春花, 马锋旺, 李明军, 韩明玉, 束怀瑞. 2006. 外源抗坏血酸对离体苹果叶片衰老的影响. *园艺学报*, 33 (6): 1179 - 1184.
- Ma Chun-hua, Ma Feng-wang, Li Ming-jun, Han Ming-yu, Shu Huai-nui. 2007. Comparisons of ascorbic acid contents and activities of metabolism relative enzymes in apple leaves of various ages *Acta Horticulturae Sinica*, 34 (4): 995 - 998. (in Chinese)
- 马春花, 马锋旺, 李明军, 韩明玉, 束怀瑞. 2007. 不同叶龄苹果叶片抗坏血酸含量与其代谢相关酶活性的比较. *园艺学报*, 34 (4): 995 - 998.
- May M J, Vemoux T, Leaver C, Montagu M, Inze D. 1998. Glutathione homeostasis in plants: implications for environmental sensing and plant development *J Exp Bot*, 49 (321): 649 - 667.
- Pignocchi C, Fletcher J M, Wilkinson J E, Barnes J D, Foyer C H. 2003. The function of ascorbate oxidase in tobacco *Plant Physiol*, 132 (3): 1631 - 1641.
- Srimoff N. 1993. The role of active oxygen in the response to water deficit and desiccation *New Phytol*, 125: 27 - 58.
- Srimoff N, Pallanca J E. 1996. Ascorbate metabolism in relation to oxidative stress *Biochemical Society Transactions*, 24: 472 - 478.
- Veljovic-Jovanovic S D, Pignocchi C, Noctor G, Foyer H C. 2001. Low ascorbic acid in the vtc-1 mutant of *A. thaliana* is associated with decreased growth and intracellular redistribution of the antioxidant *Plant Physiol*, 127 (2): 426 - 435.
- Wheeler G L, Jones M A, Srimoff N. 1998. The biosynthetic pathway of vitamin C in higher plants *Nature*, 393: 365 - 369.

期刊征订

欢迎订阅《北方果树》

主管单位: 辽宁省农业科学院。**主办单位:** 辽宁省果树科学研究所, 沈阳农业大学园艺学院, 辽宁省果树学会。
主要栏目: 专题论述、试验研究、生产经验、调查(考察)报告、科普讲座、生产建议、果业产业化、典型介绍、绿色果品、百果园、工作论坛、国外见闻、来稿摘要、市场信息、报刊摘要与会讯等。**技术范围:** 落叶果树(含经济林)、西甜瓜和草莓等新品种的选育、引进; 品种特性与配套栽培技术; 土壤管理与肥料科学施用; 病虫害发生规律与防治技术; 植物生长调节剂及其应用; 组织培养与脱毒技术; 果品贮藏与加工; 产业化经营与集约化栽培; 果园机械与果园管理机械化等。**读者对象:** 果树科技人员、农林院校师生、各级果业主管与技术行政部门干部、果树生产和产品经销者等。双月刊, 单月10日出版, 大16开本, 64页, 彩色四封。每期定价5.00元, 全年6期30.00元。邮发代号8-213, 全国各地邮局(所)办理订阅, 编辑部随时可订, 款到发刊, 免费邮寄, 需挂号邮寄, 每册另加3.00元, 年加18.00元。欢迎以乡(镇)、村统一订阅(20册以上免收挂号费)。

编辑部地址: 辽宁省营口市熊岳镇铁东街《北方果树》编辑部; 邮编: 115009;

联系电话: 0417-7848206(兼传真), 7033159, 7032701; **电子信箱:** lgqbscn@yahoo.com.cn